

IMRT dinamica: esperienza dell'IRCC. *Aspetti fisici.*



Barbara Baiotto
S. C. Fisica Sanitaria, Istituto per la Ricerca e la Cura del Cancro (Candiolo),
ASO Ordine Mauriziano Torino

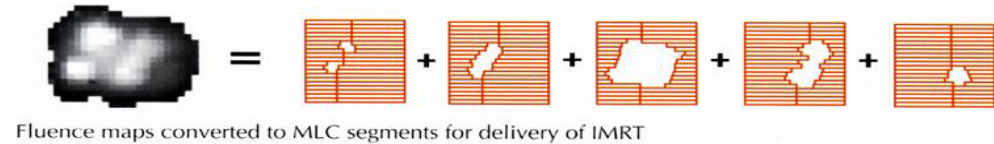


XVII Convegno Regionale AIRO Piemonte-Valle d'Aosta,
Asti, 18 ottobre 2008

Metodi per modulare l'intensità

π Tecnica "Step and Shoot"
(Segmental MLC – sMLC)

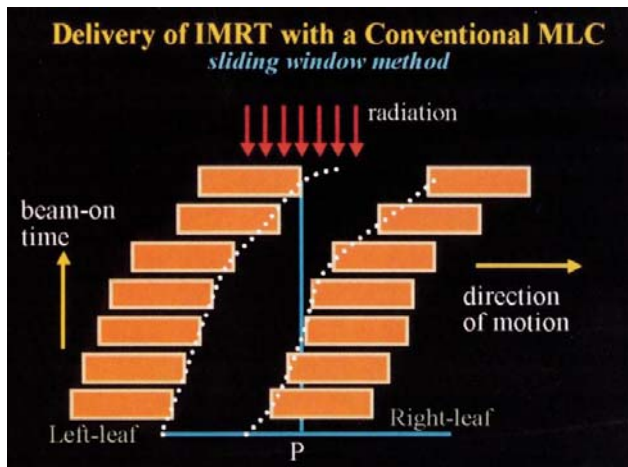
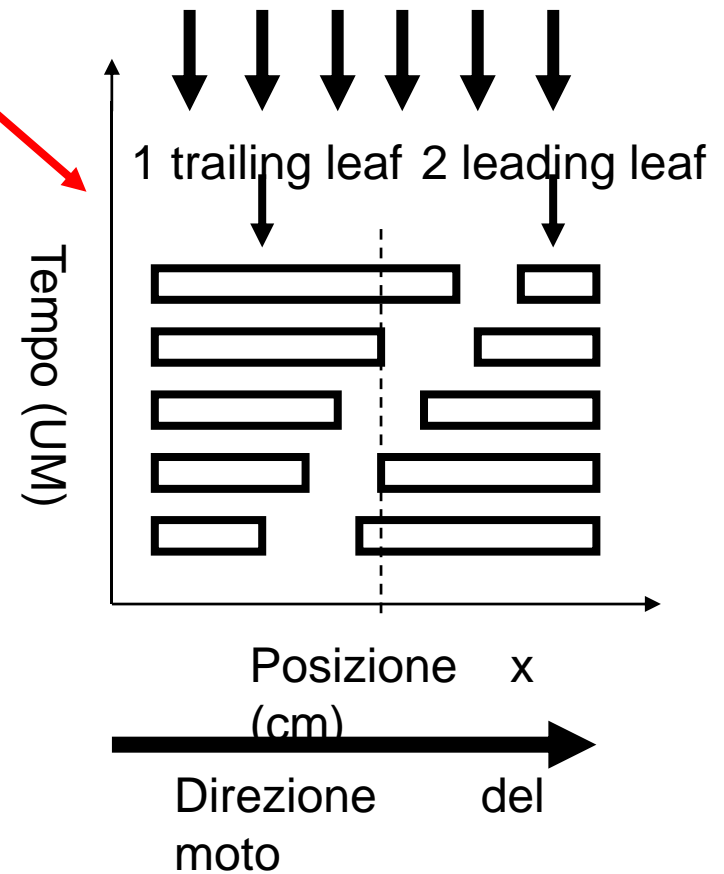
Segmented MLC Exposure Settings



π Modulazione dinamica (*sliding window, d-MLC*)

π Terapia ad arco con modulazione d'intensità (IMAT)

π Tomoterapia (fan beam)



Entrambe le lamelle partono dallo stesso margine del campo e raggiungono l'altro, con moto continuo.

TPS e Inverse Planning tools presso l'IRCC

Pinnacle v. 8.0k, Eclipse v.8.0

- CT-simulazione virtuale
- fusione d'immagini/contouring
- field arrangement (class solution, constraints)
- sequencer e d-MLC, calcolo della dose

Definizione constraints PTV/OAR

- ◆ PTV max – min dose (107-95% ICRU)
- ◆ dose - volume constraints (es. dose prescritta al 95% vol PTV)
- ◆ definizione di constraints basata su letteratura e esperienza 3D-CRT
- ◆ dati radiobiologici da letteratura (EUD, α/β)

The screenshot shows the 'Normal Tissue Objective Parameters' window in Pinnacle/Eclipse. It features a table of constraints for various organs at risk (OAR) and the target (PTV). A red arrow points to the 'ptv boost' constraint, and a blue arrow points to the 'esofago' constraint. To the right, a 'Dose Volume Histogram' (DVH) graph plots Volume [%] against Dose [Gy], showing curves for different OARs and vertical lines representing dose constraints. Below the DVH, there is a 'Base dose plan' section with a small 3D visualization of the treatment plan and optimization parameters like 'Max time (min): 100' and 'Max iterations: 3000'.

Structure	Type	Volume [cc]	Points	Resolution [mm]	
ptv boost	Volume [cc]	214	7149	3.00	
esofago	Volume [cc]	16	2000	1.95	
esofago	Upper Volume [%]	21.0	Dose [Gy]	35.0	Priority: 95
esofago	Upper Volume [%]	1.0	Dose [Gy]	64.2	85
esofago	Upper Volume [%]	16.8	Dose [Gy]	43.0	95
esofago	Upper Volume [%]	11.5	Dose [Gy]	56.1	80
esofago	Upper Volume [%]	16.5	Dose [Gy]	37.0	80
polmone	Volume [cc]	4094	136455	3.00	
polmone	Upper Volume [%]	4.7	Dose [Gy]	21.0	85
polmone	Upper Volume [%]	16.9	Dose [Gy]	46.0	75
polmone	Upper Volume [%]	16.9	Dose [Gy]	40.0	70
ptvboost-overlap	Volume [cc]	294	15924	3.00	
ptvboost-overlap	Upper Volume [%]	0.0	Dose [Gy]	71.8	110
ptvboost-overlap	Lower Volume [%]	100.0	Dose [Gy]	65.4	115
ptvboost-overlap	Lower Volume [%]	60.0	Dose [Gy]	69.1	100

Dose Max/min PTV

Dose-volume restrictions OAR

Grafico fluenza e DVH interattivo

Priority factor (0-1000)

- specificato per ogni constraints
- definisce l'importanza del constraint
- “penalty factor” per la funzione di ottimizzazione

<input checked="" type="checkbox"/>	<input checked="" type="checkbox"/>	Body	Volume [cc]:	5957	Points:	58835	Resolution [mm]:	4.50
<input checked="" type="checkbox"/>	<input checked="" type="checkbox"/>	Bones of Skull	Volume [cc]:	694	Points:	23141	Resolution [mm]:	3.00
<input checked="" type="checkbox"/>	<input checked="" type="checkbox"/>	CTV	Volume [cc]:	329	Points:	10975	Resolution [mm]:	3.00
		Upper	Volume [%]:	0.0	Dose [Gy]:	55.5	Priority:	50
		Lower	Volume [%]:	100.0	Dose [Gy]:	53.0	Priority:	50
<input checked="" type="checkbox"/>	<input checked="" type="checkbox"/>	PTV	Volume [cc]:	808	Points:	26933	Resolution [mm]:	3.00
<input checked="" type="checkbox"/>	<input checked="" type="checkbox"/>	Spinal Cord	Volume [cc]:	33	Points:	2000	Resolution [mm]:	2.47
<input checked="" type="checkbox"/>	<input checked="" type="checkbox"/>	Parotid r	Volume [cc]:	15	Points:	2000	Resolution [mm]:	1.90
<input checked="" type="checkbox"/>	<input checked="" type="checkbox"/>	Parotid l	Volume [cc]:	14	Points:	2000	Resolution [mm]:	1.83
<input checked="" type="checkbox"/>	<input checked="" type="checkbox"/>	Brain stem	Volume [cc]:	13	Points:	2000	Resolution [mm]:	1.78
<input checked="" type="checkbox"/>	<input checked="" type="checkbox"/>	Brain	Volume [cc]:	352	Points:	11717	Resolution [mm]:	3.00
<input checked="" type="checkbox"/>	<input checked="" type="checkbox"/>	PTV without CTV	Volume [cc]:	479	Points:	15954	Resolution [mm]:	3.00
<input checked="" type="checkbox"/>	<input checked="" type="checkbox"/>	PTV wo parotid l	Volume [cc]:	477	Points:	15899	Resolution [mm]:	3.00
<input checked="" type="checkbox"/>	<input checked="" type="checkbox"/>	Parotid l and PTV	Volume [cc]:	1	Points:	1314	Resolution [mm]:	1.00

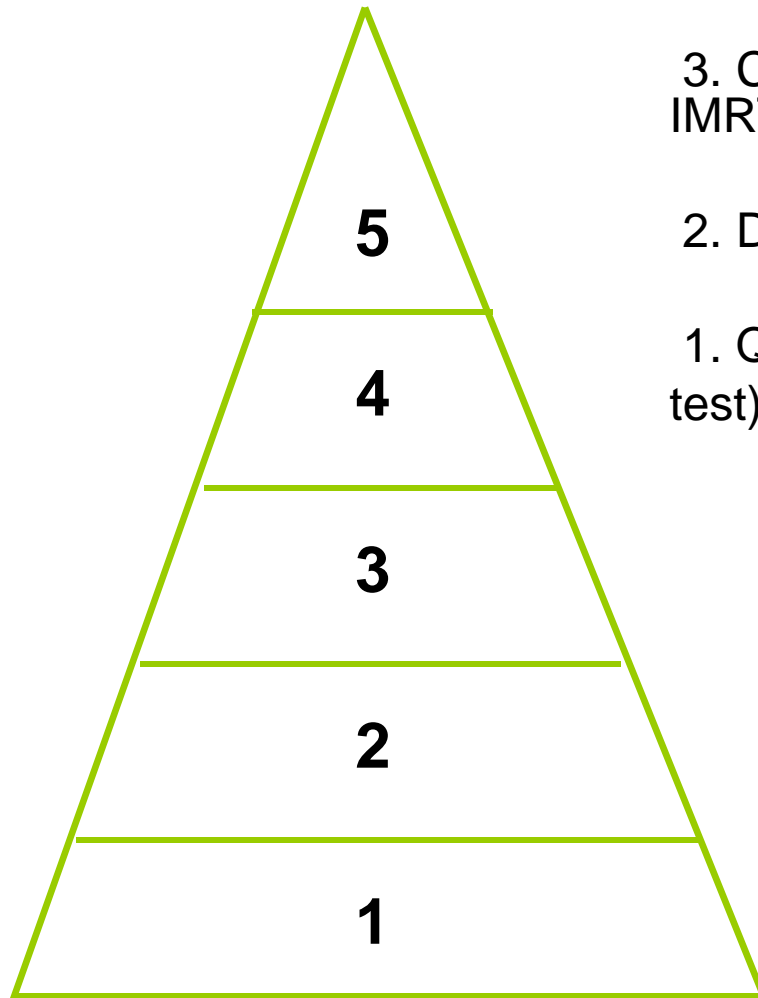
Smoothing (X, Y)

X: ↓MU

Y: ↓ “tongue&groove”

	MLC	Method	X Smooth	Y Smooth	Minimize Dose	Fixed Jaws	Field Weight
Field 1	Millenniu...	Full Ray	40	30	0	<input type="checkbox"/>	1.000
Field 2	Millennium_1...	Full Ray	40	30	0	<input type="checkbox"/>	1.000
Field 3	Millennium_1...	Full Ray	40	30	0	<input type="checkbox"/>	1.000
Field 4	Millennium_1...	Full Ray	40	30	0	<input type="checkbox"/>	1.000
Field 5	Millennium_1...	Full Ray	40	30	0	<input type="checkbox"/>	1.000
Field 6	Millennium_1...	Full Ray	40	30	0	<input type="checkbox"/>	1.000
Field 7	Millennium_1...	Full Ray	40	30	0	<input type="checkbox"/>	1.000

QA per IMRT: 5 livelli



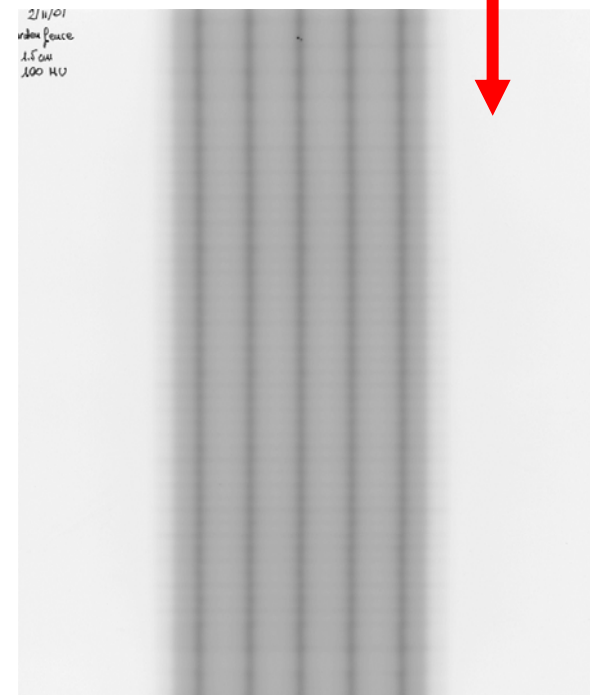
5. Controlli di qualità su paziente (setup prima del trattamento)

4. Verifica pre-trattamento del piano IMRT (mappe di fluenza, UM, isodosi)

3. Commissioning TPS/IP e simulazione di trattamenti IMRT su fantoccio con verifica dosimetrica

2. Dosimetria di campi piccoli

1. QC di base su Linac e d-MLC (es. Gardenfence test)

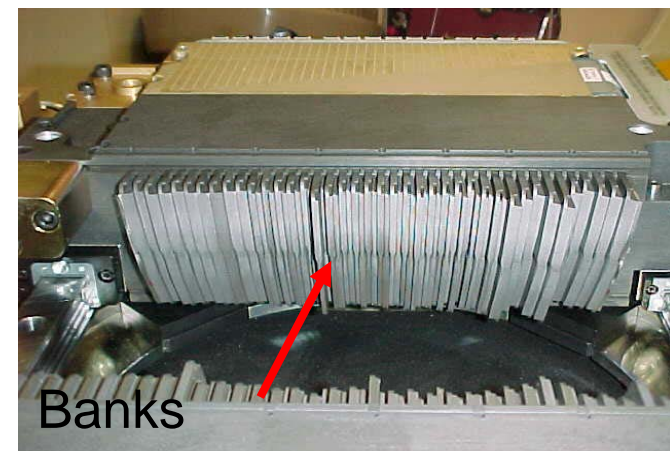
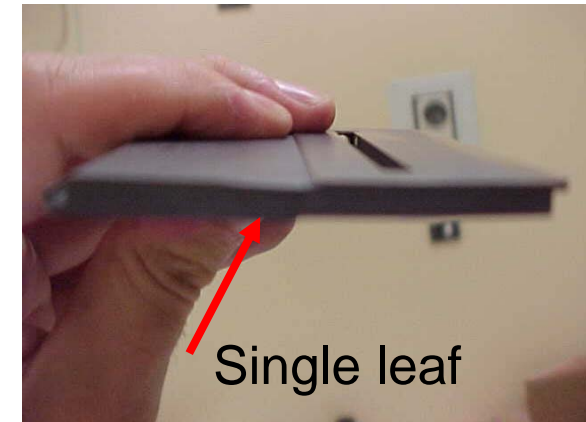


Acceptance test MLC Millennium 120-leaf (Varian, 600 CD)

Chui CS, Spirou S, LoSasso T. Testing of dynamic multileaf collimation. Med. Phys. 23:635-641 (1996)

LoSasso T, Chui CS, Clifton LC. Physical and dosimetric aspects of a multileaf collimation system used in the dynamic mode for implementing intensity modulated radiotherapy. Med Phys 25:1919-1927 (1998)

1. Caratterizzazione d-MLC: leaf calibration
2. Leaf transmission
3. Dosimetric leaf separation
4. Leaf Tolerance
5. Gravity test
6. Leaf speed stability
7. Leaf acceleration-deceleration
8. OF campi piccoli con MLC



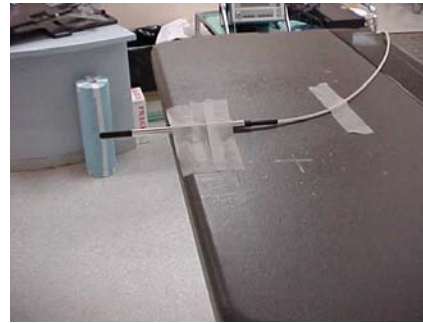
eseguiti fine 2001

Leaf transmission

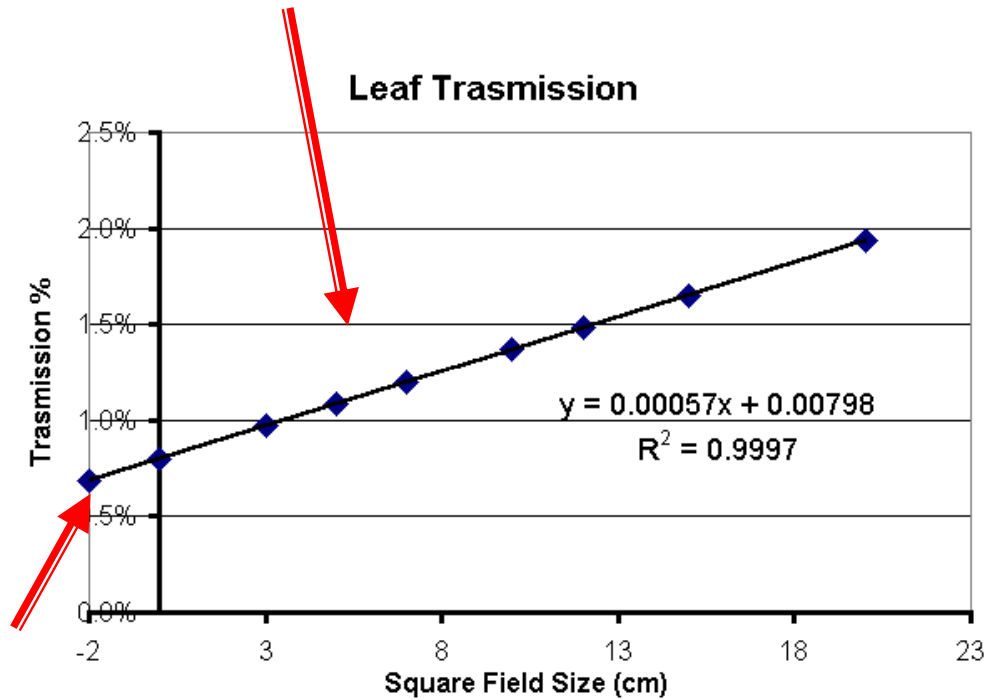
radiazione

scatter \propto

dimensione campo

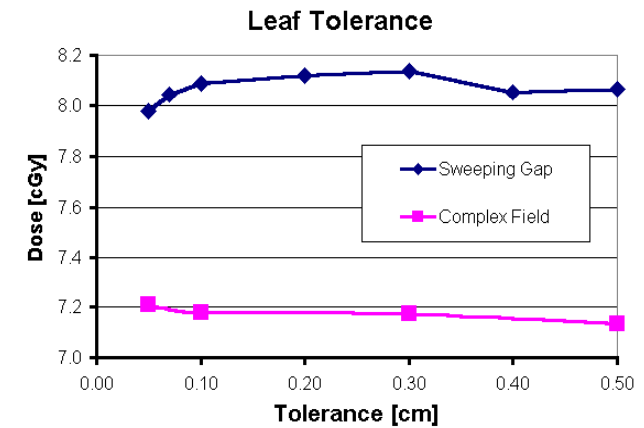
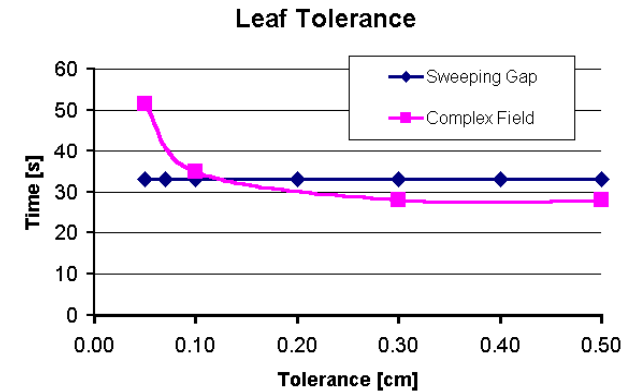
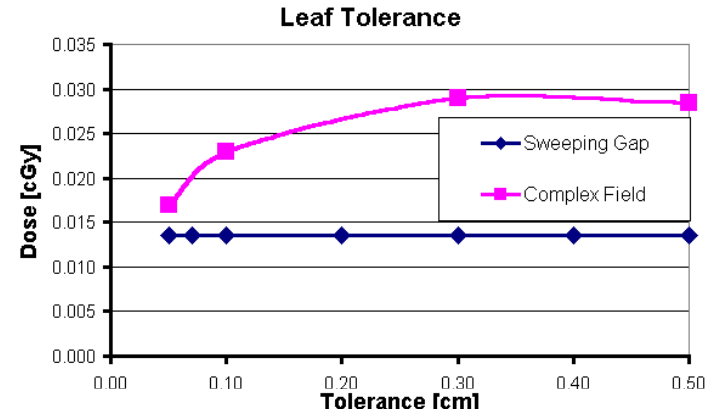


Precisione nel beam delivery?

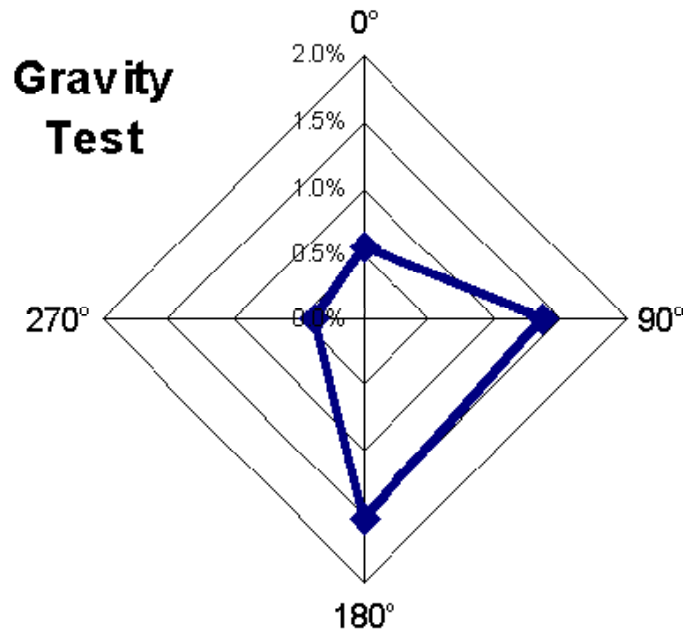


radiazione diretta = costante

Leaf tolerance



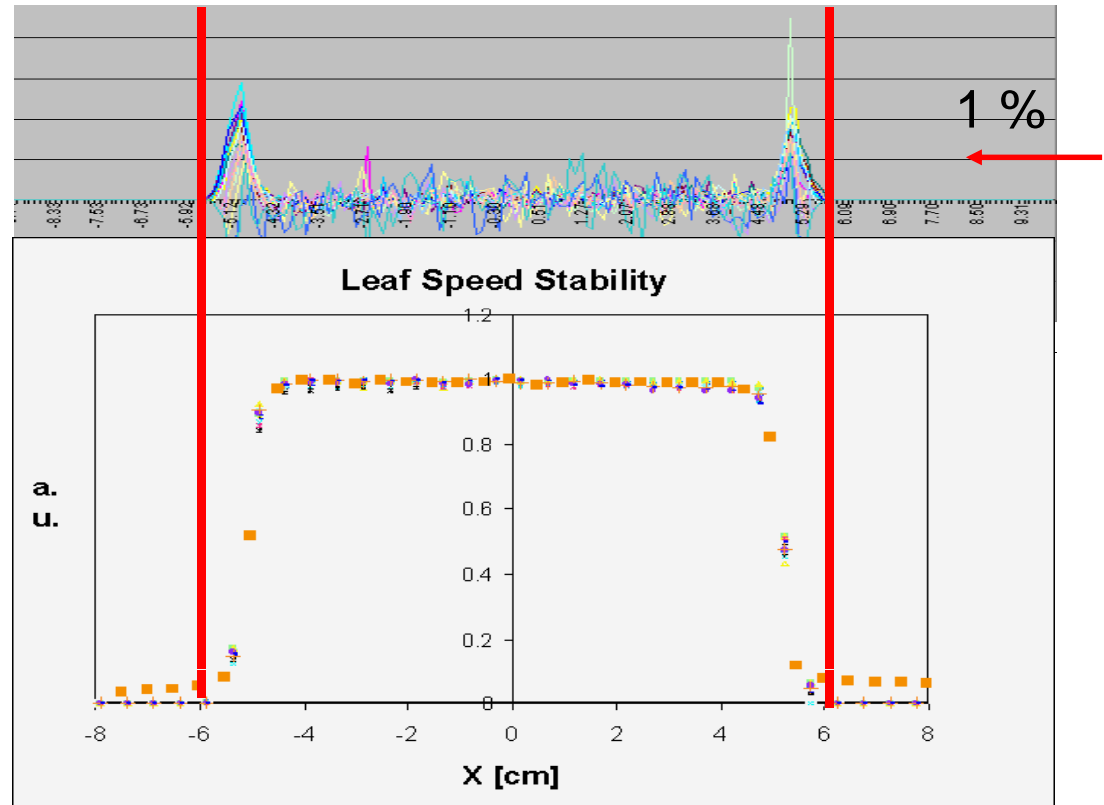
Stability



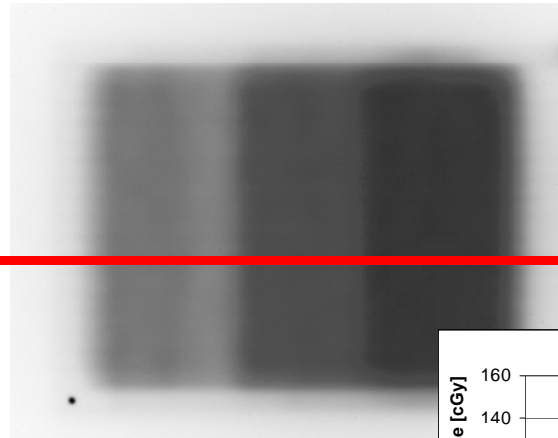
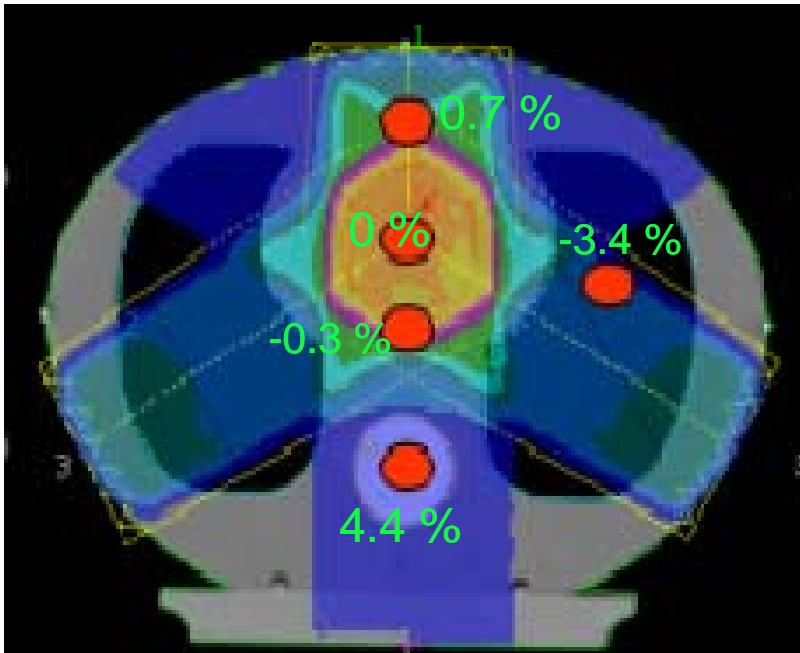
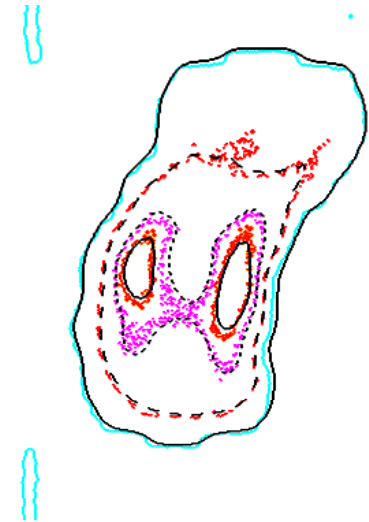
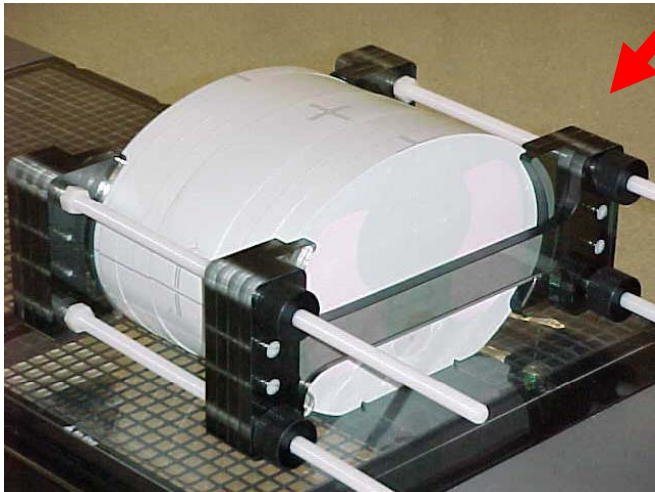
Gantry angle < 1.5 %

Time < 1 %

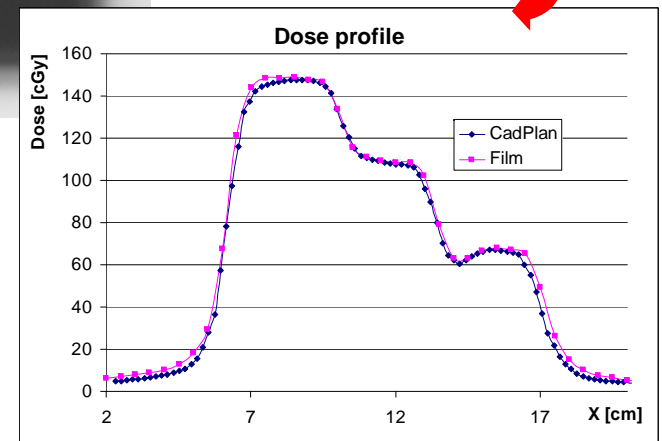
Leaf speed stability



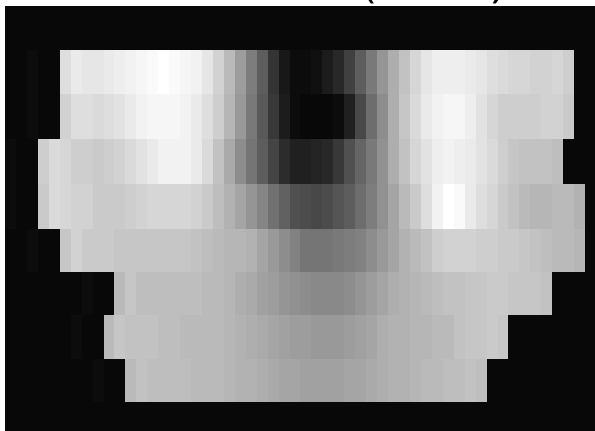
Commissioning TPS: dose assoluta e relativa



Dose Profile



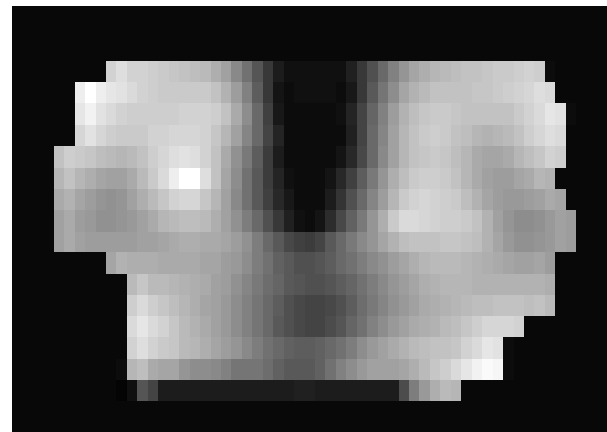
80 lamelle (1 cm)



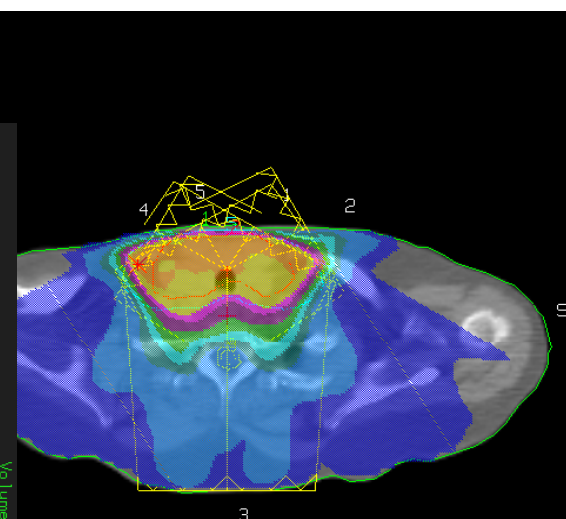
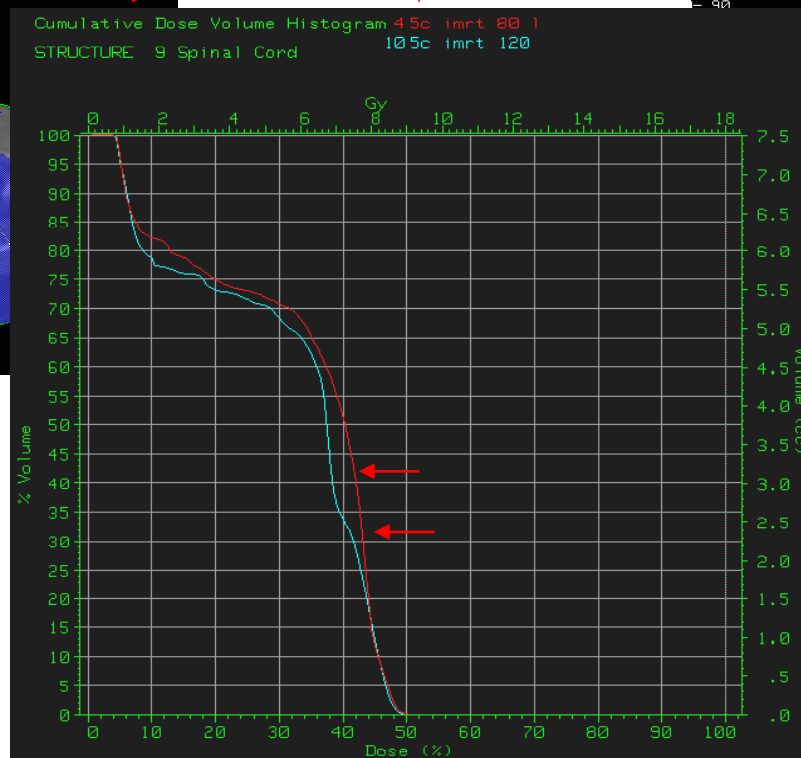
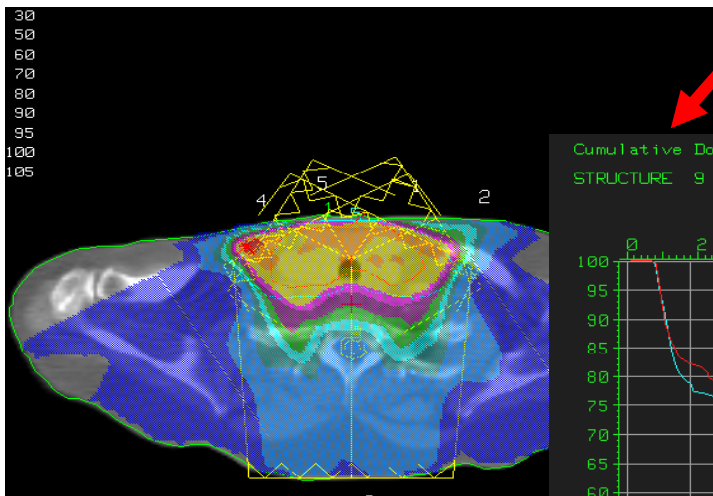
80 o 120 lamelle?

Mappe di fluenza

120 lamelle (0.5 cm)



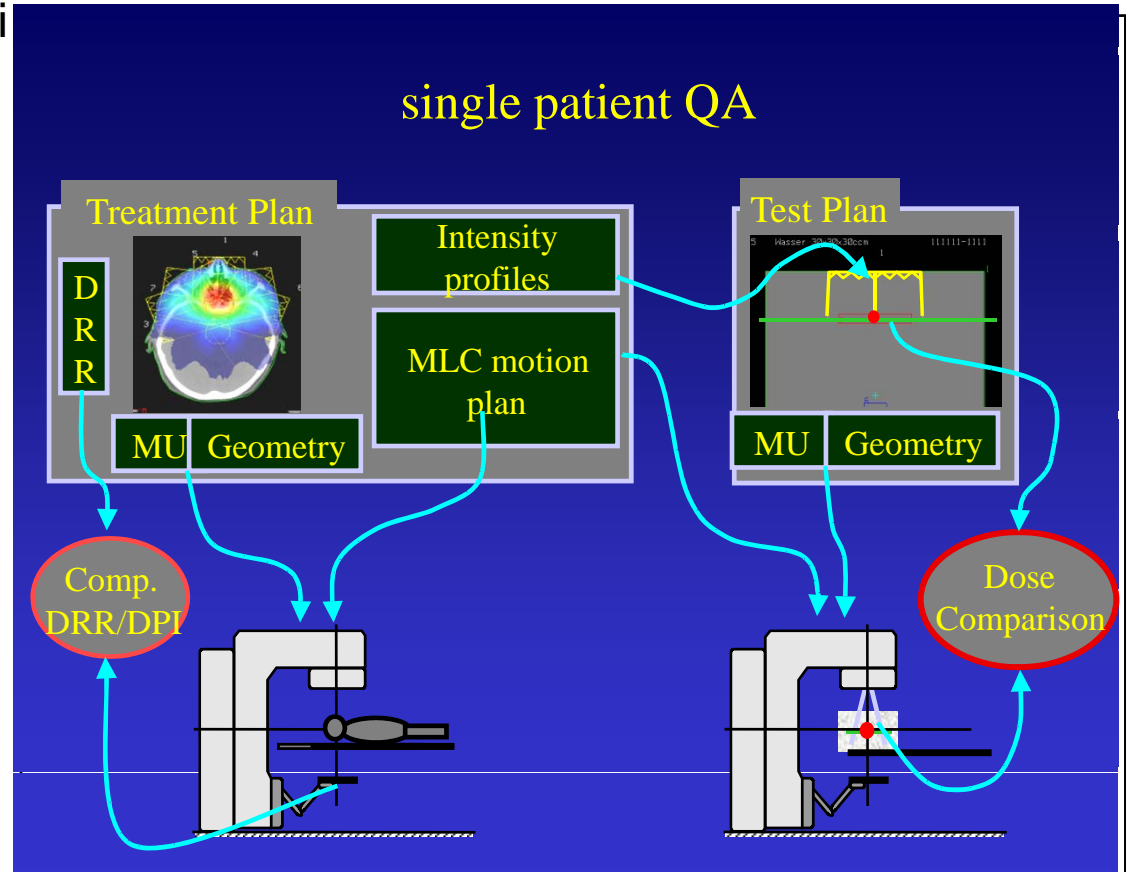
Piani di trattamento, DVH



DVH Midollo

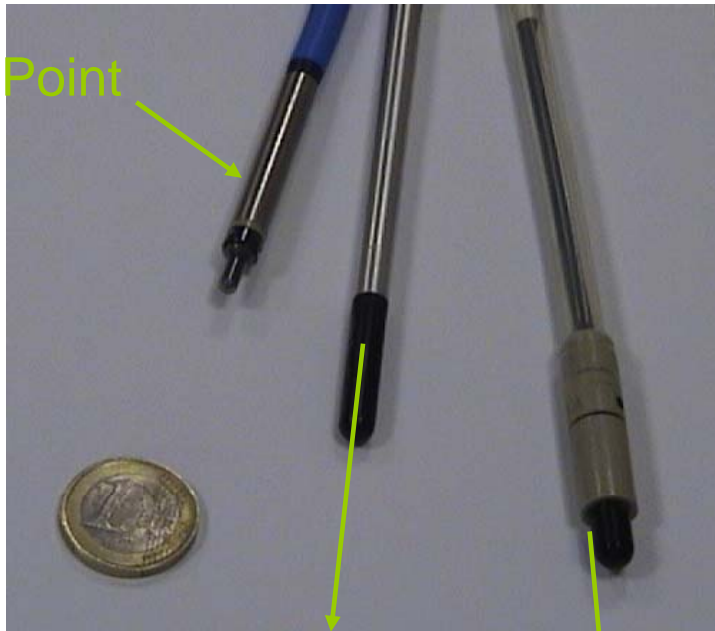
IMRT: *Patient Quality Assurance*

- TPS e R&V (Aria, Varian) integrati
- Verifica di dose pre-trattamento per ogni paziente
 - Assoluta: microcamera in solid water
 - Relativa: isodosi misurate vs. calcolate
- Verifica del setup in tempo reale e giornaliera
 - Campi 0/90 (DRR vs. EPID silicio amorfo → 2 mm in H&N 3 mm in altri): **dose conteggiata nel piano di trattamento!**
 - Correzione setup *on line* (↓ errore sistematico)



1.M. Stasi, B. Baiotto, G. Barboni, G. Scielzo. The behaviour of several microionization chambers in small intensity modulated radiotherapy fields. **Med Phys 21, 2004:2792-2795.**

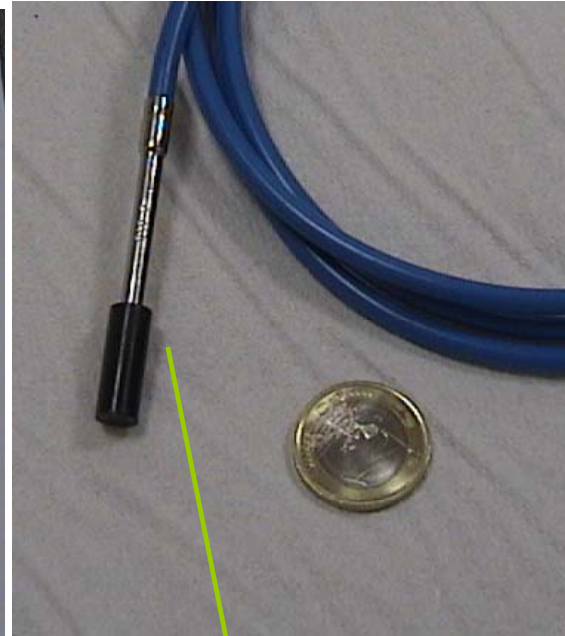
Pin-Point



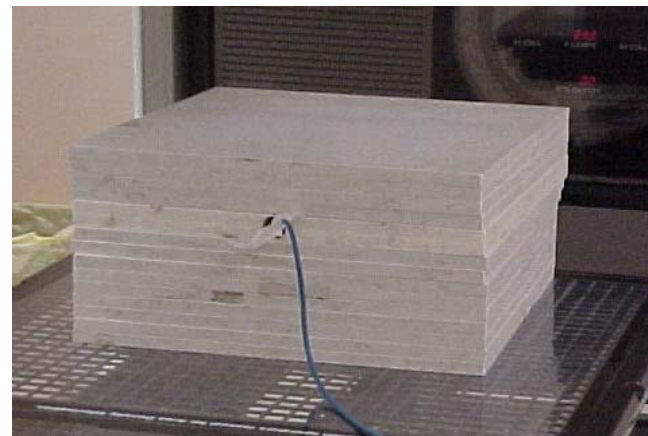
A14SL

IC-10

Diamante



Exradin
Micropoint
A16
(V=0.007 cc)

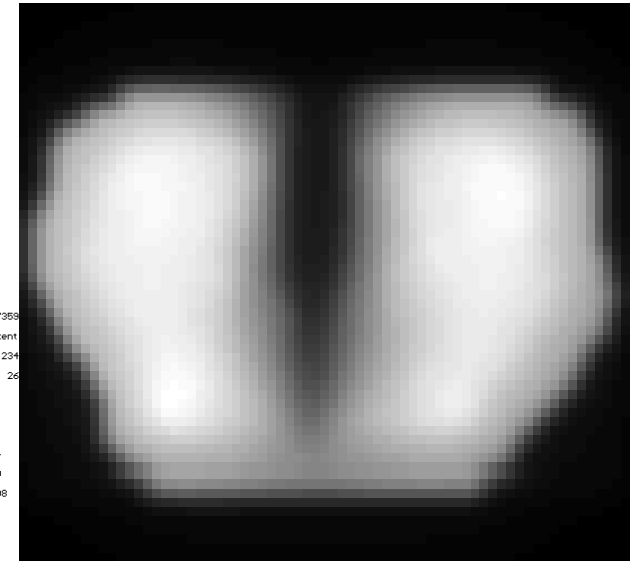
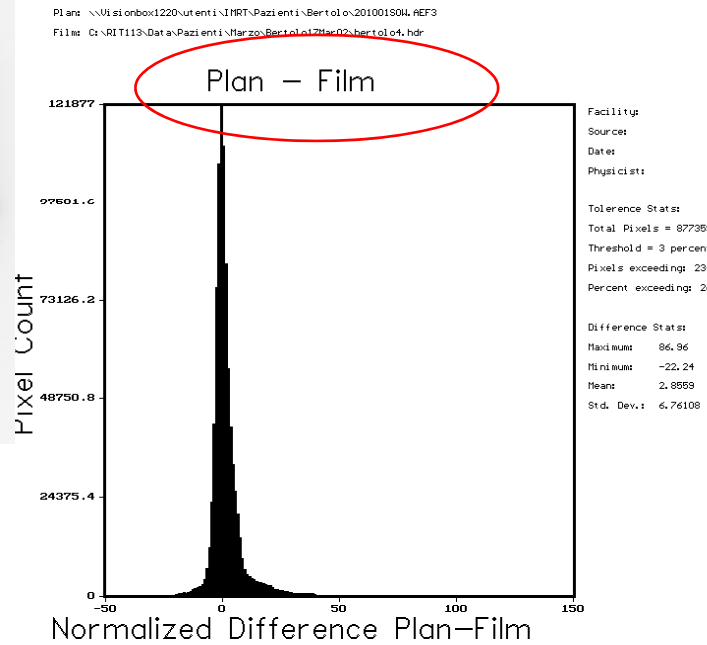


IMRT: pre-treatment patient QA

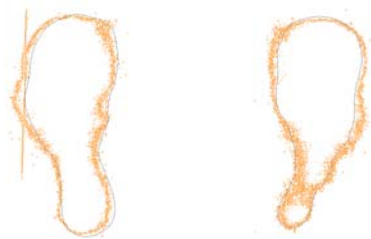
Analisi Matching RIT + VIDAR 12/Scanner
Sottrazione e Differenza Plan-Film



Film in Solid Water

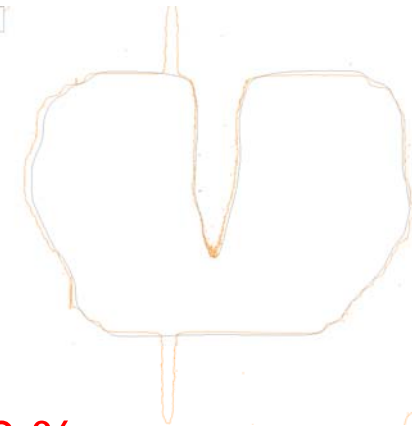


Dose Matrix su TPS

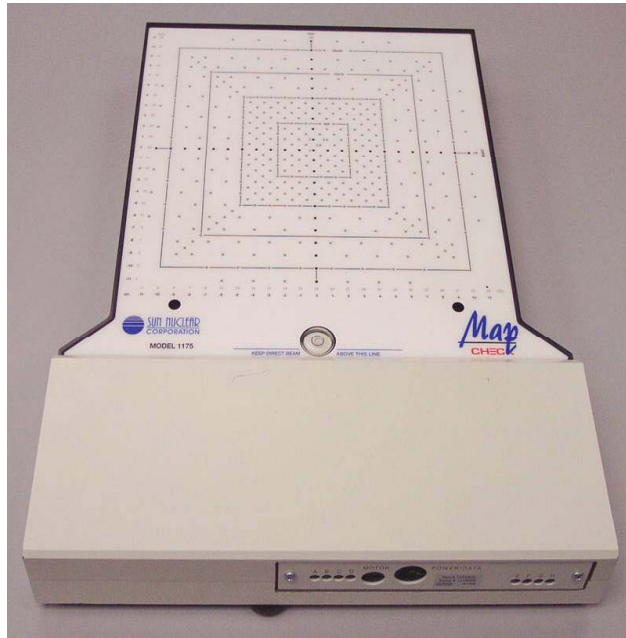


95 %

Dosimetria relativa:
matching isodosi
misurate vs. calcolate

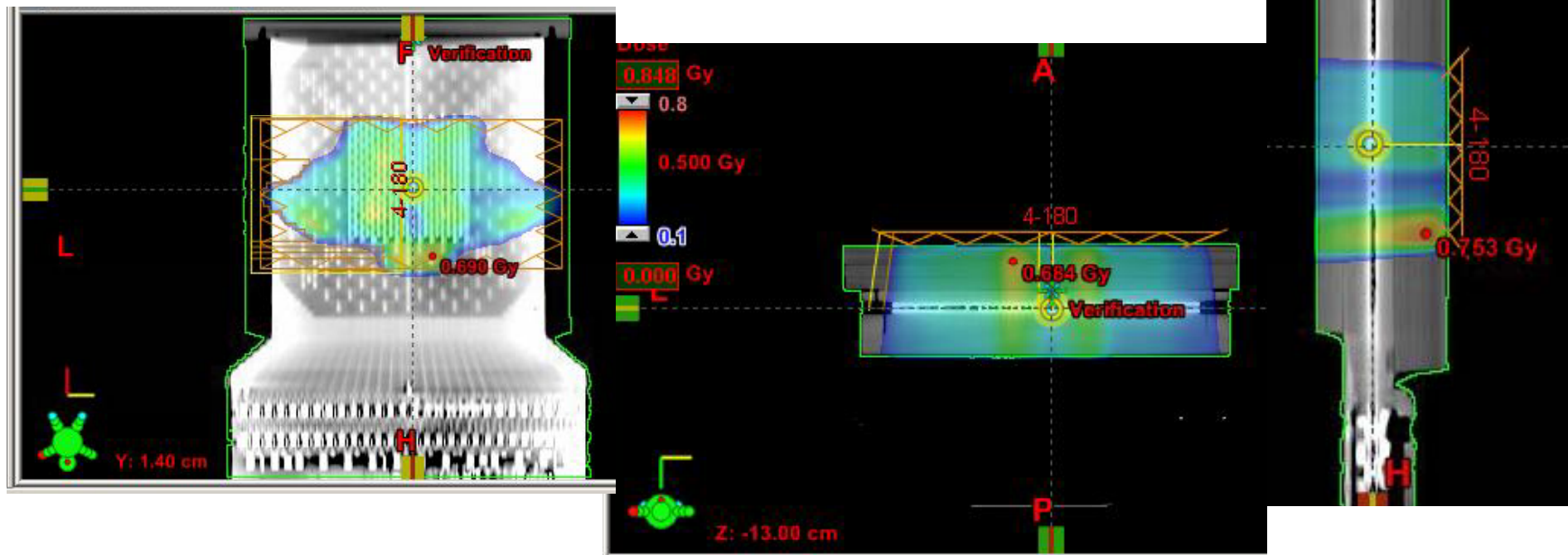


30 %

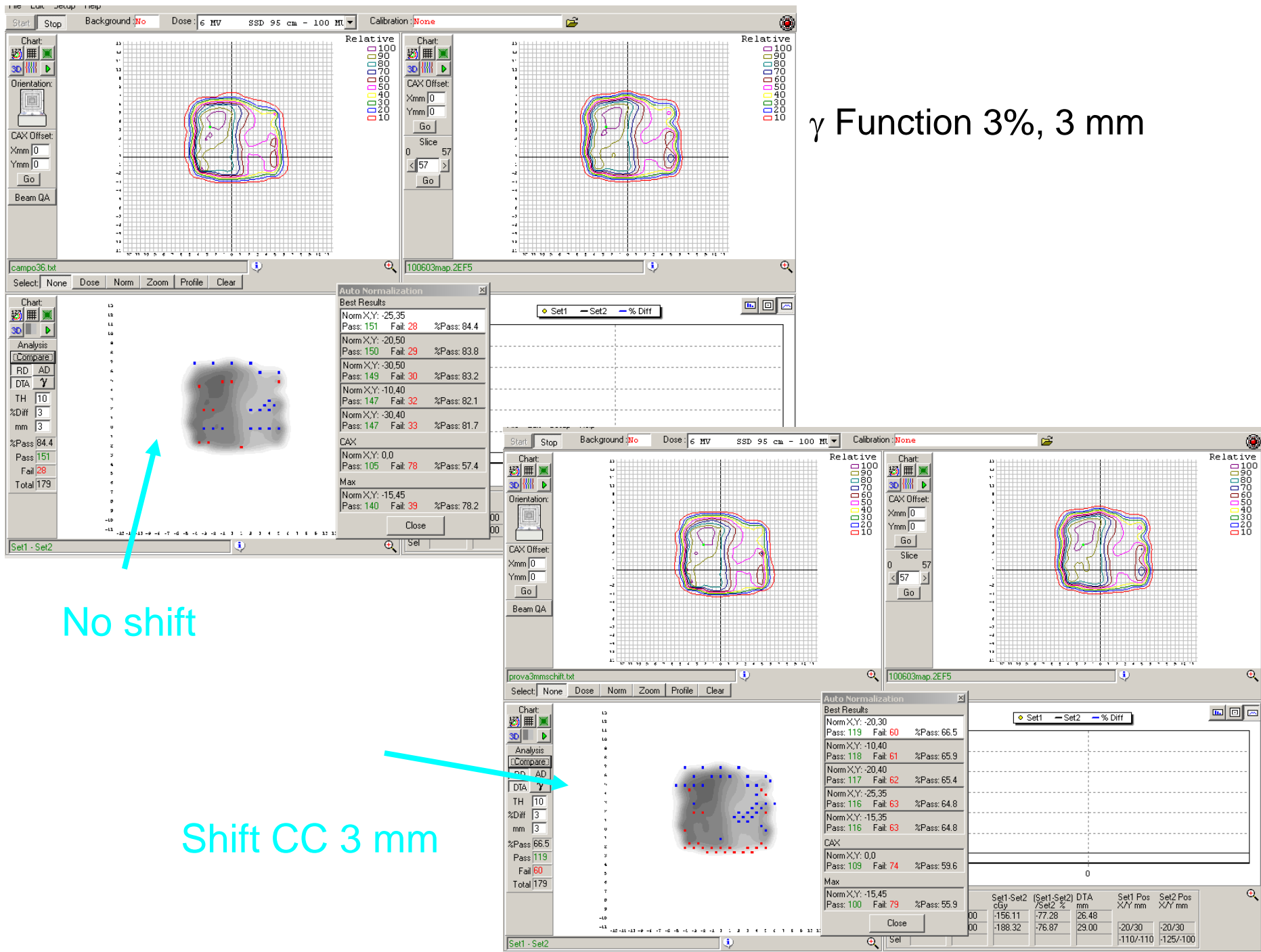


2D-Array: MapCheck™ (Sun Nuclear)

1. 445 rivelatori a stato solido (diodi tipo N) resistenti alla radiazione
2. Spaziatura all'interno del campo 10x10 e sulle diagonali: 6 mm. Esternamente al campo 10x10: 10 mm
3. Limiti sul fascio: 7.7 mGy di dose per impulso, massimo rateo di ripetizione degli impulsi (1000 impulsi/sec)

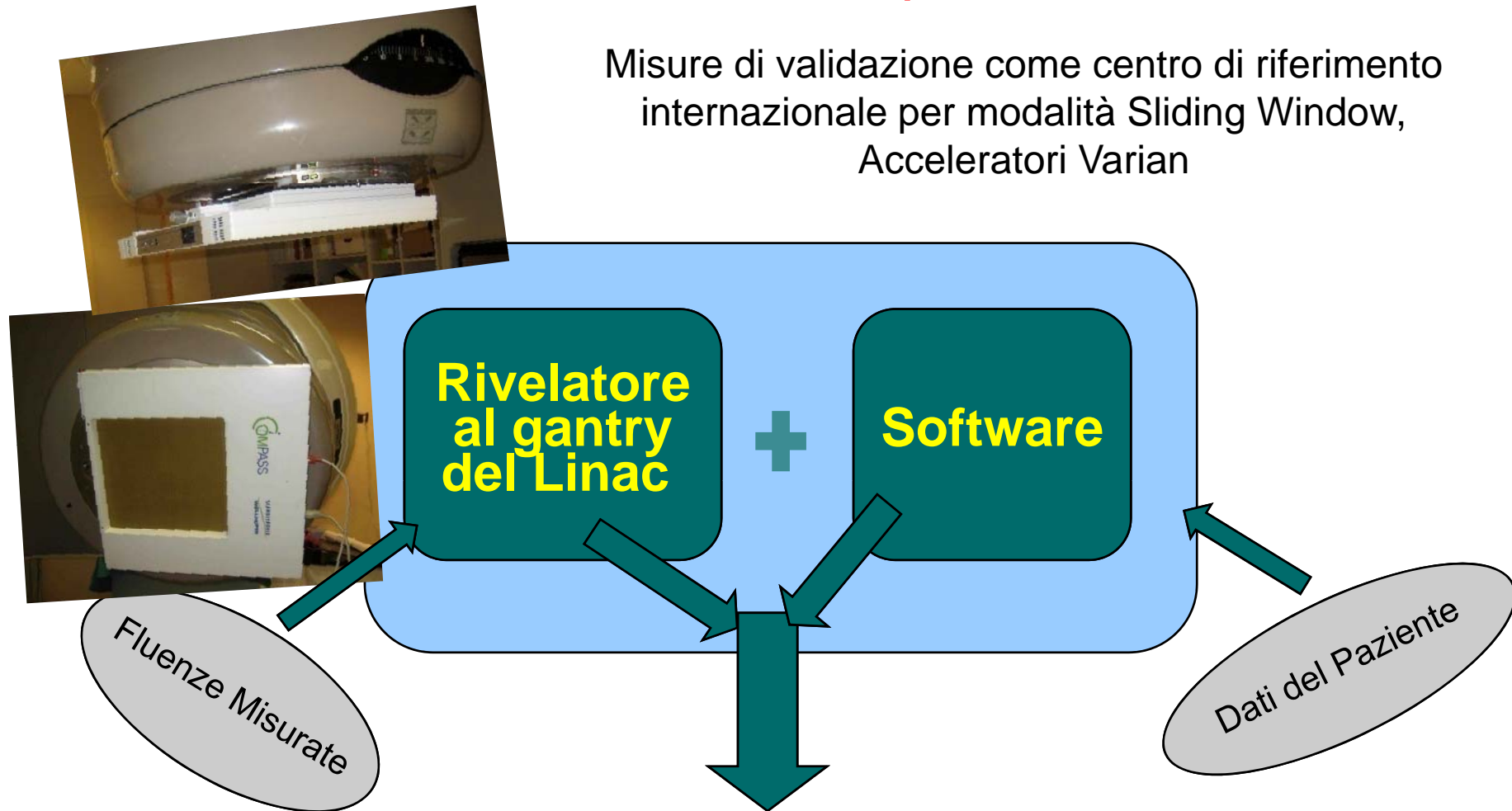


γ Function 3%, 3 mm



Sistema Compass™ (IBA Dosimetry)

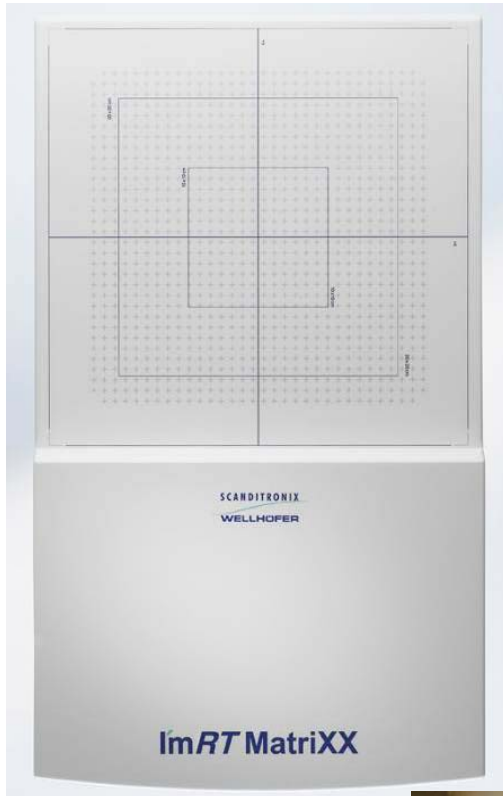
Misure di validazione come centro di riferimento internazionale per modalità Sliding Window, Acceleratori Varian



- Ricostruzione on-line dose 3D nella geometria del paziente
 - Confronto tra dose attesa e misurata
- Camera a ionizzazione a Trasmissione (T2D), verifica attenuazione
 - Verifica durante il trattamento del paziente

MatriXX™ come Detector

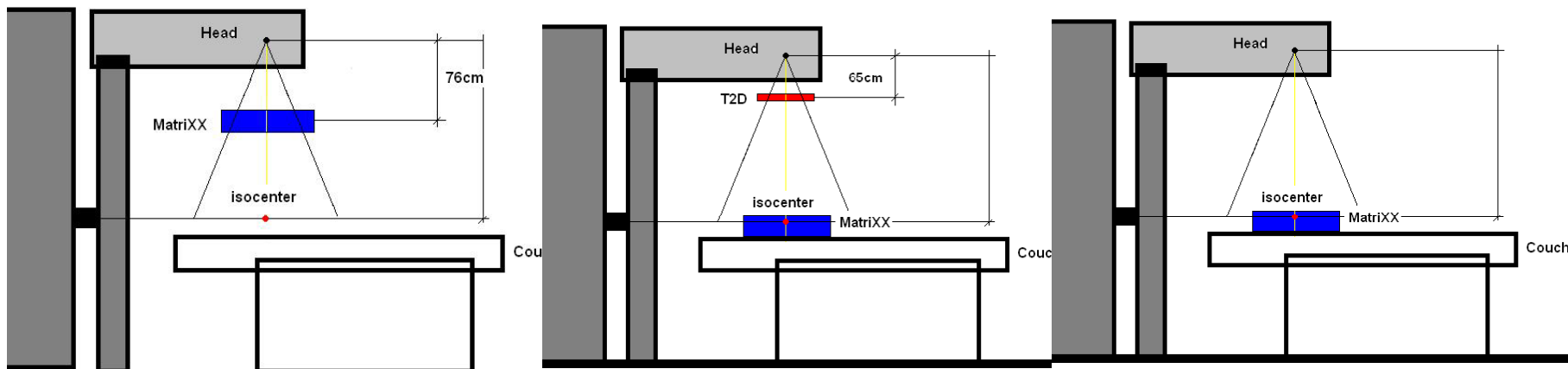
- Accuratezza, precisione, linearità (Stasi et al, PMB 2005)
- Camera a Ionizzazione: 2 cm di build-up
- Quality Assurance pre-trattamento (non “in-vivo”)



	MatriXX	Transmission Detector T2D
Distance to source	76cm	65cm
Pitch	7.6 mm	6.5mm
Number of Pixels	1024 arranged in a matrix 32x32	1600 (40x40)
Chamber size	4.5 (Ø) x 5 (h) mm, volume 0.08 cm ³	3.8 (Ø) x 2 (h) mm, chamber volume: 0.02 cm ³
Charge Resolution	0.1 pC/count	0.1 pC/count

1.M. Stasi, S.Giordanengo, R. Cirio, A. Boriano, F. Bourhaleb, I Cornelius, M. Donetti, E. Garelli, I. Gomola, F. Marchetto, M. Porzio, C. J. Sanz Freire A. Sardo, C. Peroni. D-IMRT verification with a 2D pixel ionization chamber: dosimetric and clinical results in head and neck cancer. 2.Phys Med Biol 50 (2005)

Misure di validazione

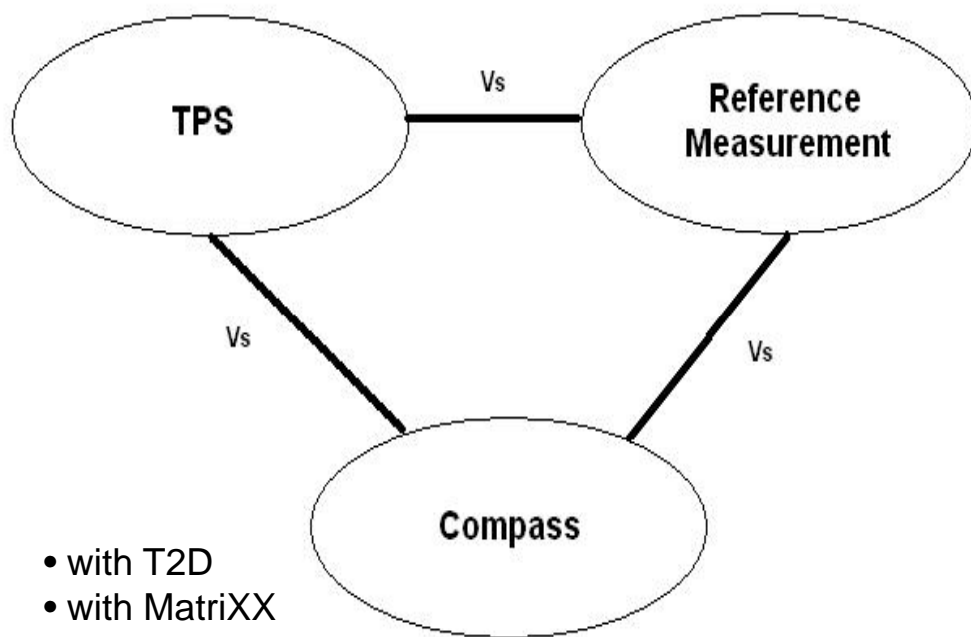


MatriXX a 76 cm come detector di compass

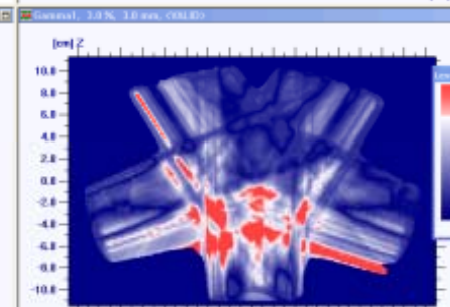
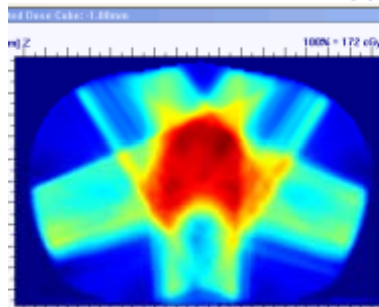
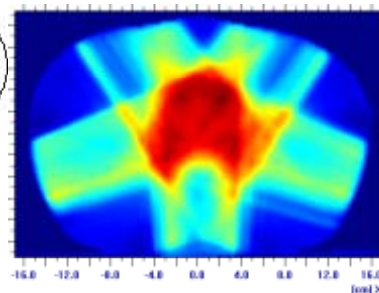
T2D come detector di compass e Misura indipendente sul lettino

Misura indipendente sul lettino

- Campi quadrati e dinamici (QA)
- Piani IMRT in fantoccio

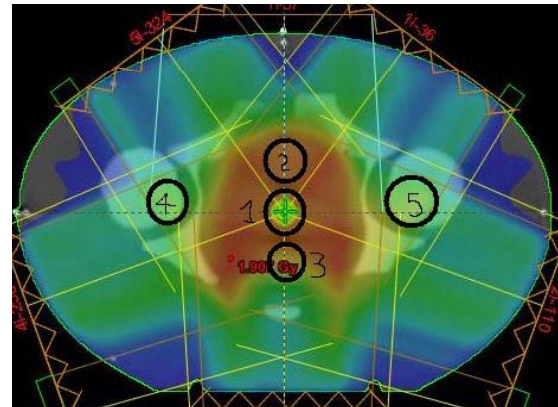
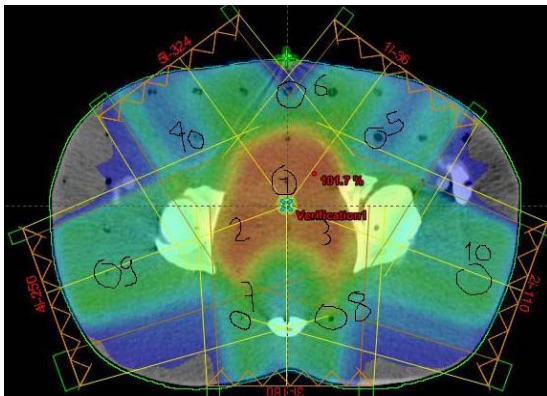


- with T2D
- with MatriXX



Risultati preliminari

- Il sistema Compass ricostruisce accuratamente campi quadrati e dinamici quando le misure sono acquisite con MatriXX come detector
- La camera a trasmissione misura correttamente la modulazione di fluenza
- L'algoritmo di ricostruzione della distribuzione dose anche in geometrie complesse (fantocci antropomorfi) dà risultati clinicamente accettabili
- L'attenuazione del rivelatore a trasmissione misurata con con micro-camera: $(3.1 \pm 0.8)\%$



M.Stasi, B.Baiotto, L.Berta, N.Givehchi, C.Brusasco, M.Donetti, A.Giuliacci, S.Iliescu, L.Mueller, C.Peroni, Clinical validation of Compass System for on-line verification in IMRT, 50th ASTRO Meeting, 21-25 Sept 2008, Boston and ESTRO Meeting Sept 2008, Goteborg

IMSure™ QA (v. 3.0 – STANDARDIMAGING)

sistema di controllo di qualità per la verifica della dose e delle MU calcolate dal TPS (“Three - Source Model”, Yang et al – Med. Phys. 2002)

Strumento alternativo →



3D-CRT - “verifica manuale” delle MU

IMRT - verifica della dose assoluta con microcamera
- verifica fluenza con rivelatore 2D

Misure di commissioning (in miniphantom)

Parametri geometrici (jaws, MLC)/dosimetrici (TMR, OCR, OF, Sc)

Fattori di trasmissione per MLC

- Dosimetric MLC offset - “Distance from true physical leaf edge to dosimetric leaf edge
- Mean Dose Leaf Leakage – “Mean leaf leakage through MLC”

Beam Energy:	6	MV/MeV	Mean Dose Leaf Leakage:	1.600	%
Nominal dmax:	1.50	cm	Mean Fluence Map Leaf Leakage:	1.750	%
Reference Depth:	1.50	cm	Diode Calibration Factor:	1.0	
Calibration Field Size:	10.0	cm			
Calibration Dose Rate:	1.000	cGy/MU			
Source to Phantom Distance:	100.0	cm			
Tray Factor:	1.000				
Dosimetric MLC Leaf Offset:	0.270	cm			

Beam Type: Photon Electron
Dynamic Wedges: None EDW Virtual Wedge

File RTP da TPS

Beams (5) | Calc Points (1) | Map Results

Field #	1	2	3	4	5
Field ID	1i-36	2i-100	3i-180	4i-260	5i-324
CAX SSD (cm)	89.0 cm	82.1 cm	87.8 cm	82.8 cm	87.4 cm
PSSD (cm)	89.0 cm	82.1 cm	87.8 cm	82.8 cm	87.4 cm
PDepth (cm)	11.0 cm	17.9 cm	12.2 cm	17.2 cm	12.6 cm
Eff Depth (cm)	--	--	--	--	--
Ref Point	ref point	ref point	ref point	ref point	ref point
TPS Dose (cGy)	50.4 cGy	44.7 cGy	32.5 cGy	41.7 cGy	46.7 cGy
IMSure Dose (cGy)	50.4 cGy	43.7 cGy	30.4 cGy	42.0 cGy	43.4 cGy
% Diff	0.0%	2.2%	6.5%	-0.7%	7.1%

Calc Pt #	1
Name	ref point
X (cm)	0.0
Y (cm)	0.0
Z (cm)	0.0
TPS Dose (cGy)	216.0 cGy
IMSure Dose (cGy)	209.9 cGy
% Diff	2.8%

Plan

Plan File: RP.1.2.246.352.71.5.87327623.36040.200709061228

Patient: ID: 135539

Machine: copia 600 new

TPS: ARIA 7.5 - External Beam F Plan # imsuremlcnev

Patient Origin: (Fixed IEC) X: 0.4 Y: -58.9 Z: -1.1

Beam View

IMSure Map
-5.79, 21.34 = 0.00

Field

Field: 1 of 5

Seg: 1 of 170

X1/X2: 10.5 / 8.5

Y1/Y2: 3.0 / 14.8

MU: 0.0

Status

F	CP	Status

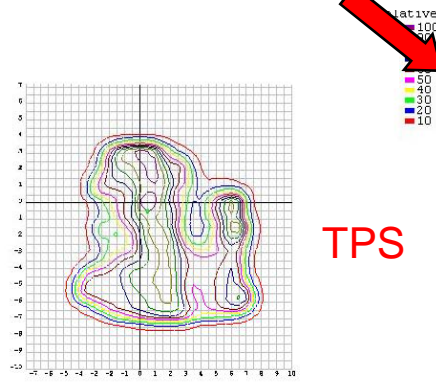
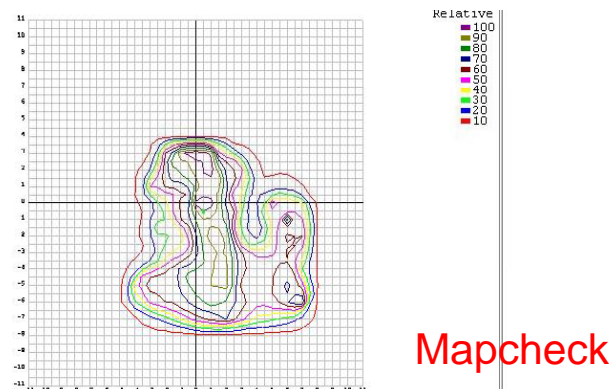
Display Options

Leaf	Transverse
Imported	Calculated
Difference	Gamma

Axes Jaws
 Calc Pt CIAO

Risultati

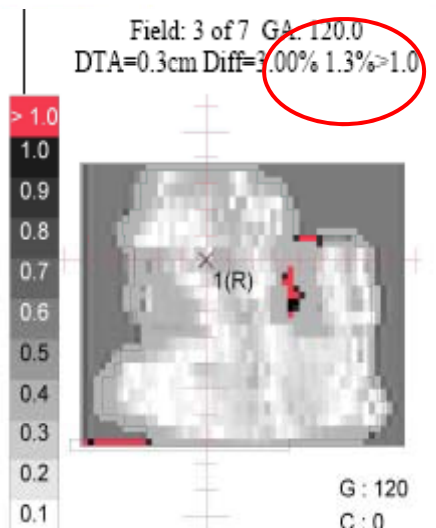
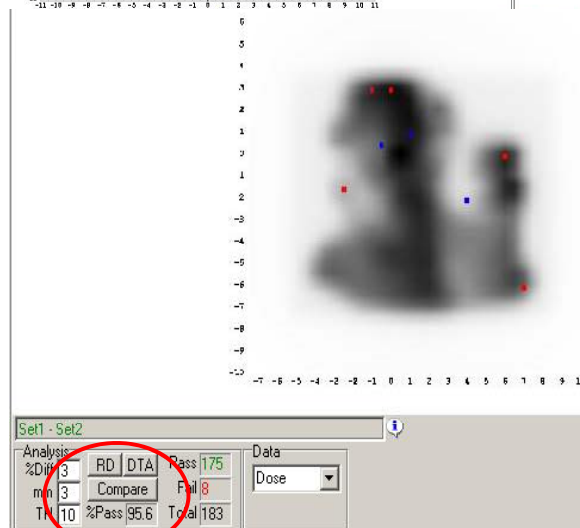
Testati 35 piani di trattamento IMRT- SMART Eclipse (Varian, v.8)



Verifica dose con microcamera lungo l'asse: buon accordo
IMSure vs. microcamera (-2.7% vs. -1.4%)

Verifica distribuzione di dose con Mapcheck: buon accordo verifica mappe di fluenza

Gamma Index: DTA 3 mm, Diff 3 %



Ulteriori "trigger" del Dosimetric Leaf Offset

- verifica della validità del sistema nella routine clinica
- strumento integrativo (alternativo ?!..) ai metodi dosimetrici standard di pre-treatment QA in IMRT

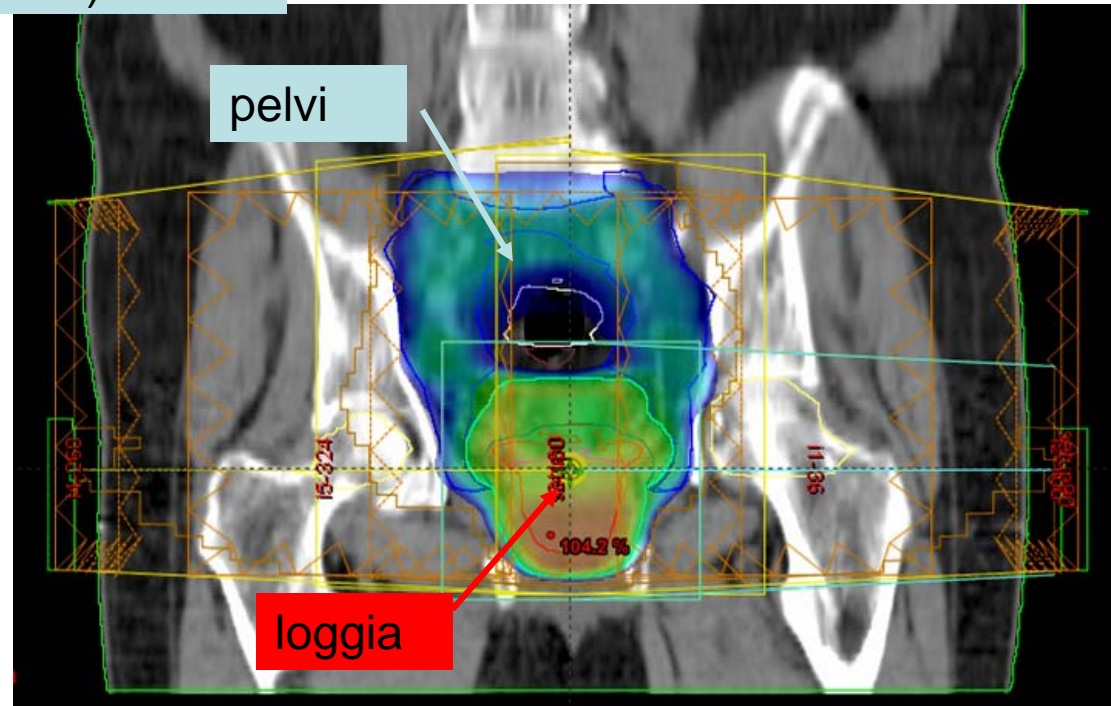
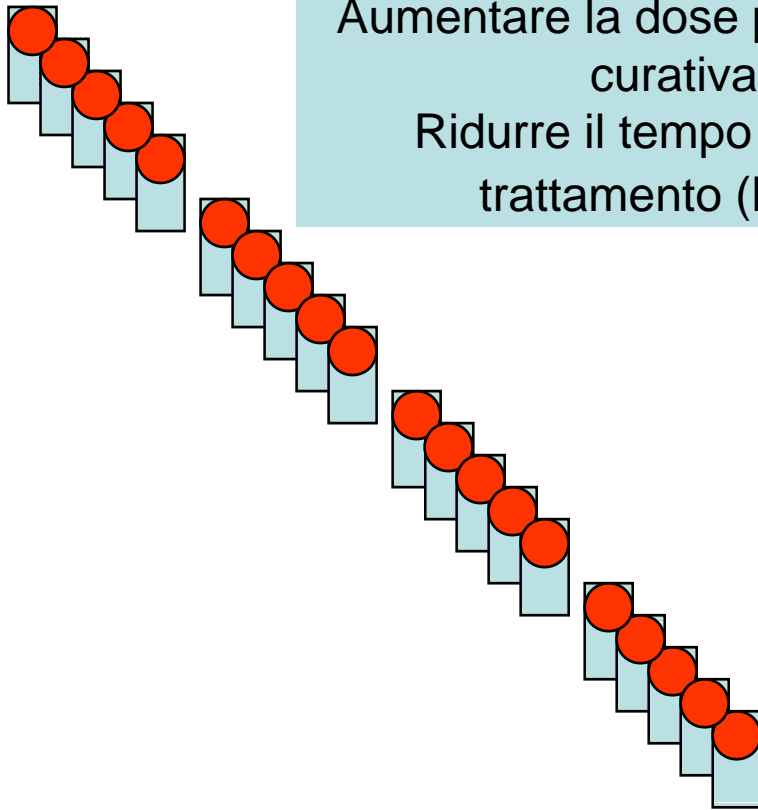
Simultaneous Accelerated Modulated RadioTherapy (SMART)

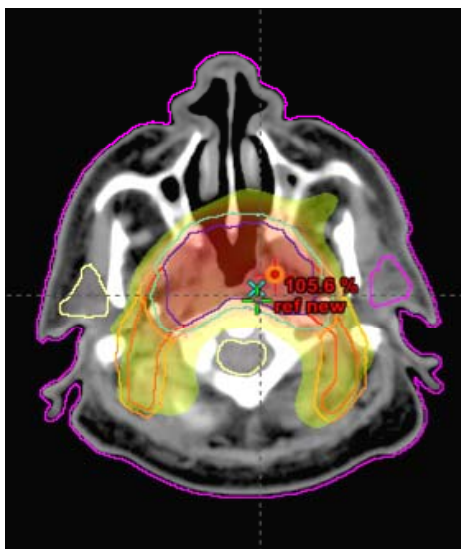


Aumentare la dose profilattica e curativa
Ridurre il tempo totale di trattamento (H&N)



Irradiare volumi differenti con dose totale e dose/fraz differenti all'interno degli stessi campi di trattamento

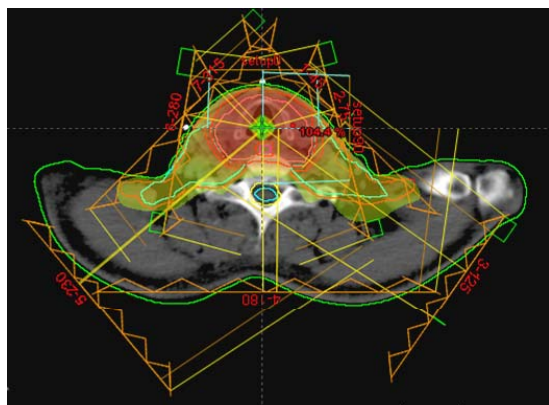




Casistica IMRT-SMART:

da gennaio 2005, 43 su 96 pazienti trattati

- 5-7 campi
- 6 MV



<i>Sede trattata</i>	<i>N. paz.</i>
Tiroide/esofago	4
Rinofaringe/orofaringe/laringe	13
Seni della faccia	3
Mammella + linfonodi	1
Vescica +linfonodi LA	1
Prostata + pelvi	21

H&N: dose/fraz 1.8 Gy PTV1, 2.2-2.25 Gy PTV2

Dose tot 50.4-54 Gy PTV1, 60-68.2 Gy PTV2 (DE \geq 70 Gy, $\alpha/\beta=10$)

Prostata/pelvi: dose/fraz 1.8 Gy PTV1, 2.2 Gy PTV2

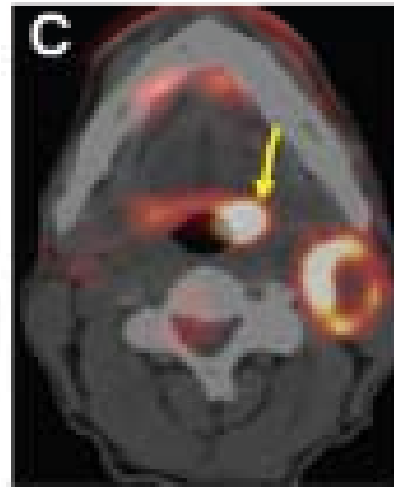
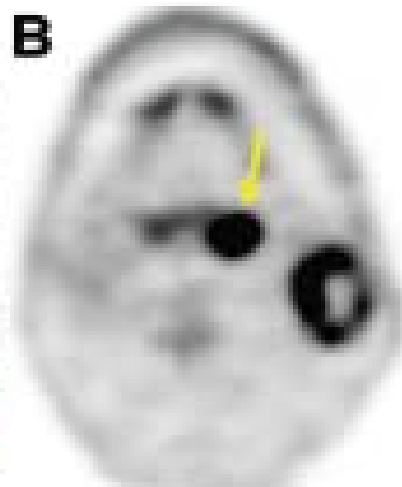
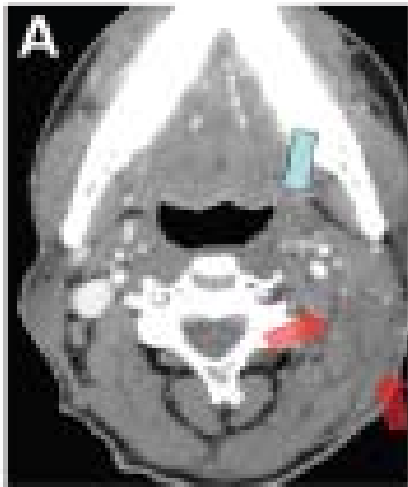
Dose tot 50.4-54 Gy PTV1, 61.6-66 Gy PTV2 (DE \geq 79 Gy, $\alpha/\beta=3$)

Conclusioni

Elevata complessità tecnica IMRT dinamica
sia in fase di implementazione/commissioning, che in fase di QA
su singolo paziente (time consuming!) \Rightarrow protocolli “standard” di QA



- vantaggi dosimetrici e clinici legati alla tecnica (dose OARs, Conformity Index)
- vantaggi “radiobiologici” SMART-IMRT nella irradiazione simultanea di volumi differenti con dosi differenti



- scelta α/β
- *Biological Target Volume*

